

鑄鐵・アルムコ鐵及び鋼が水中に於ける初期の點蝕現象と 受動態の關係に就て

(日本鐵鋼協會第12回講演大會講演)

日下和治*

ON THE RELATION BETWEEN PITTING AND PASSIVITY OF IRON AND STEEL IN WATER.

Kazuji Kusaka.

SYNOPSIS:—The experimental works were undertaken by the author, dealt with phenomena of pitting and passivity upon specimens, Cast Iron, Armco Iron, Eutectoid Carbon Steel and Copper Bearing Steel, which were immersed both into artificial and natural water.

Using special measuring methods of potential under reference of O_2 content in the water and heterogenousness of materials considering Ph value, electrolyte and current density.

Another method was used for researching of O_2 and CO_2 as a factor on pitting and passivity under moving aerated water.

Results were discussed and recognized as follows, viz. :—

- 1) Passivity of Iron and Steel in water is the formation of oxide film by direct oxidation.
- 2) Pitting is a result of the nonuniformity of passivity on the whole surface of the specimen.
- 3) Main causes for the lack of uniformity of passivity are two, viz.: One is the depolarisation of the passive part by the hydrogen generation, and the other is the partial passive state formation by the differential aeration.
- 4) Current sets up between the surface, which is protected by an oxide film as a cathod, and the other parts as an anode. With reference to current flow, special calcium magnesium silicate scales were deposited only on the cathodic area in the natural water.
- 5) The order of the initial pitting tendency of the specimens are copper bearing steel, armco iron, eutectoid carbon steel and cast iron, and these results are on account of the direct oxidation of the material by oxygen.

目 次

I 緒 言

II 實驗試料

III 電位差測定に依る諸現象の觀察

- (1) 測定理由及び方法
- (2) 諸材料の電位差時間曲線
- (3) 諸材料に及ぼす酸素の影響
- (4) 水準下に於ける現象
- (5) 材料自體の不均一性

IV 點蝕と受動態の研究

- (1) 實驗理由及び方法
- (2) 酸素と Ph 値の影響

V 諸實驗結果の考察

VI 總 括

I. 緒 言

鐵又は鋼の腐蝕の研究は最近諸權威の論文¹⁾²⁾³⁾によるも所謂一般腐蝕と部分的腐蝕とを明確に區別して、取扱はれる様になつた。

* 満鐵中央試験所

- 1) G.O. Bengough: Proc. Royal. Soc. 140. 1933. 399.
- 2) U.R. Evans: Trans. Elec. Chem. Soc. 61 (Reprint) 1932.
- 3) 井口博士: 鐵と鋼 昭和 8 年 8 月

Evans 氏は先⁴⁾に鐵の點蝕に就いて酸素の濃淡電池説を主張して Whitney 氏⁵⁾の電氣化學説を補足し、更に最近⁶⁾⁷⁾は鐵は O_2 の直接酸化に依りて、保護皮膜を生じ受動態になるが、此の弱い部分が點蝕を起す事、及び此の酸化皮膜の厚きものは、薄きものよりも却つて、弱い事等を報告されてゐる。

然に Pietsch 氏⁸⁾等は腐蝕と受動體の關係を Quantum の機構で説明し Tödt 氏⁹⁾は受動態を O_2 の壓力によるものと考へてゐる。

我國でも、酸素の影響に就いては遠藤博士¹⁰⁾受動態の問題に就ては、長谷川博士¹¹⁾の有益なる研究が發表されてゐる。次に特種材料に就ては、無錫鋼の受動態と電位差の測

⁴⁾ U.R. Evans: J. Inst. Metal. 30. 1923. 239.

⁵⁾ W.R. Whitney: J. Am. Chem. Soc. 25. 1903.

⁶⁾ U.R. Evans: J. Flankline Inst. 208. No.1. 1929. 45.

⁷⁾ U.R. Evans: Metal Ind. (London) 1931. 267. 295.

⁸⁾ E. Pietsch: Z. Elek. Chemie 37. 1931. 823.

⁹⁾ F. Tödt: Z. Physik. Chem. Abt. A148. 1930. 439.

¹⁰⁾ 遠藤博士: 金屬の研究 昭和 5 年 605.

¹¹⁾ 長谷川博士: Ryojun College of Eng. 1930. 295.

定を研究したものに Strauss 氏¹²⁾の論文あり、含銅鋼が水中で防蝕作用のない事は Cassel 氏¹³⁾及び Carius 氏¹⁴⁾等に依り發表されてゐる。

如斯、點蝕又は受動態に就いての研究は、順次發表せられるに至つたけれども種々の材料に亘りて、水中の酸素の量、點蝕乃至受動態の關係を具體的に比較研究したものは未だ少い様に見られる。

著者は鑄鐵、アルムコ鐵、共析炭素鋼及び含銅鋼が自然水及び人工水中に於ける點蝕乃至受動態の現象を電位差測定法及び特殊装置に依る酸素の影響に就て研究し、満洲の特殊地方に於ける、水管又は汽罐の煙管の損傷甚しき原因を確める手段とすると同時に、前記諸材料の特性を見出す事に勉めた。

但し、此處に断つて置くが、此の結果が直ちに水道用鐵管又は鋼管壽命の比較になるとは、著者も信じてゐないのであつて、此問題に就ては皮覆物や其の他種々の條件が更に加味せられなければならない事を明かにして置く。

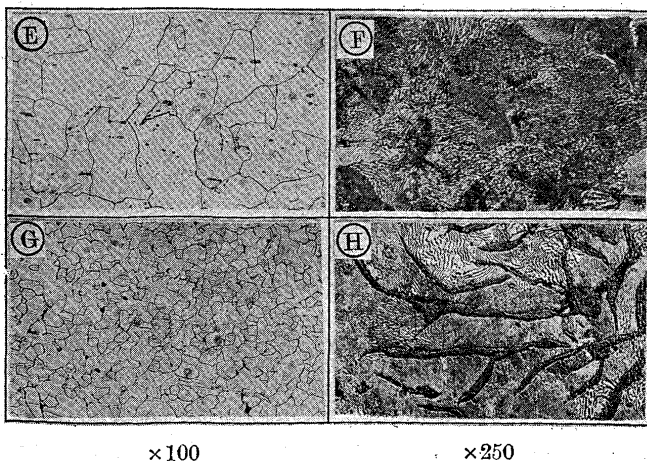
II. 實驗試料

1. 供試水 次の表に示す自然水の外に、炭酸を驅逐した、蒸溜水及び N/100 NaCl 水を使用した。個々に就き Ph 値及び酸素量を測定した。

第 1 表

性 自 然 状 水	Ph	全硬度	水 1l 中 mg 数		比電導度 $K_{25} \times 10^4$
			O ₂	全固形物 $Fe_2O_3 + Al_2O_3$	
A 大連水道水	7.0	5.6	12.8	139.6	2.8 2.07
B 奉天水道水	6.4	9.8	10.5	318.9	0.8 5.24
C 沙河口水道水	7.3	16.2	9.8	613.5	1.6 7.34

×100 (%に縮寫) ×250



2. 供試料 アルムコ鐵、共析炭素鋼、含銅鋼及びペライトとグラハイド共に、良く發達した鑄鐵を 10×40×3mm に仕上げたものを使用す。但し切削及び鑄造に依る歪

第 2 表

成 分	%	C	Si	Mn	P	S	Cu	Cr	Ni
試 料									
E アルムコ鐵	0.04	0.005	0.01	0.01	0.03	—	—	—	—
F 炭 素 鋼	0.87	0.240	0.68	0.03	0.03	—	—	—	—
G 含 銅 鋼	0.14	0.020	0.20	0.02	0.03	0.26	—	—	—
H 鑄 鐵	3.61	1.450	0.73	0.15	0.07	—	—	—	—

又は應力を除く意味にて、供試アルムコ鐵、炭素鋼、含銅鋼の試験片は、真空電氣爐に依り、加熱し Chappel¹⁵⁾氏の説に従ひて Ac₃ 點を越え夫々 950°C, 780°C, 750°C に 20 分保熱したる後空中冷却を行ひ、又鑄鐵¹⁶⁾は同様な方法に依り 780°C に 1 時間保熱後、比較的急速な爐中冷却を行つたものを使用した。

尙何れの試料も表皮を充分研磨除却したる後佛國 Hubert 社製エメリー紙 #00 で、仕上げアルコール及びエーテル洗滌して普通一般に行はれてゐる方法を施した。

III. 電位差測定に依る諸現象の觀察

1. 測定理由及び方法 金属の腐蝕に就いては、先づ電化列を考えねばならぬが、電化列は金属と或種の水溶液との電位差を比較する事に基礎を置いたものであつて Nernst 氏¹⁷⁾に依る有名な式は

$$E = \frac{RT}{nF} \log \frac{P}{p} \quad \dots \dots \dots \quad (1)$$

$$\text{簡単にして } E = \frac{0.0002T}{n} \log \frac{P}{p} \quad \dots \dots \dots \quad (2)$$

(2) 式に方て E は接觸電位差 (Volt), P は金属の電溶壓 p は金属イオンの滲透壓 n は原子價であるが n 及び p が一定の場合に E は電溶壓 P に正比例する。換言すれば E の高い事は金属が溶易い事を意味し E の測定に依り其の大きさを決定出来る。

然し、水に酸素の溶存する場合は生成物が異つて来る爲腐蝕の關係も上式を適用出来なくなるかも知れぬ。

又此の電位差の實測に當つては、水の Ph 値、溶存鹽類の種類とその量、又は組合せ電池に依る電流密度等の影響¹⁸⁾等があるので E の大きさの測定で金属の溶け難易を決

¹⁵⁾ Chappel: Jour. Iron & Steel Inst. 1912.

¹⁶⁾ 谷村光平: 鐵と銅 昭和 6 年 4 月

¹⁷⁾ W. Nernst: Theoretische Chemie.

¹⁸⁾ H.L. Lochte: Elect. Chem. Soc (preprint) 64(3.4.5.) 1933.

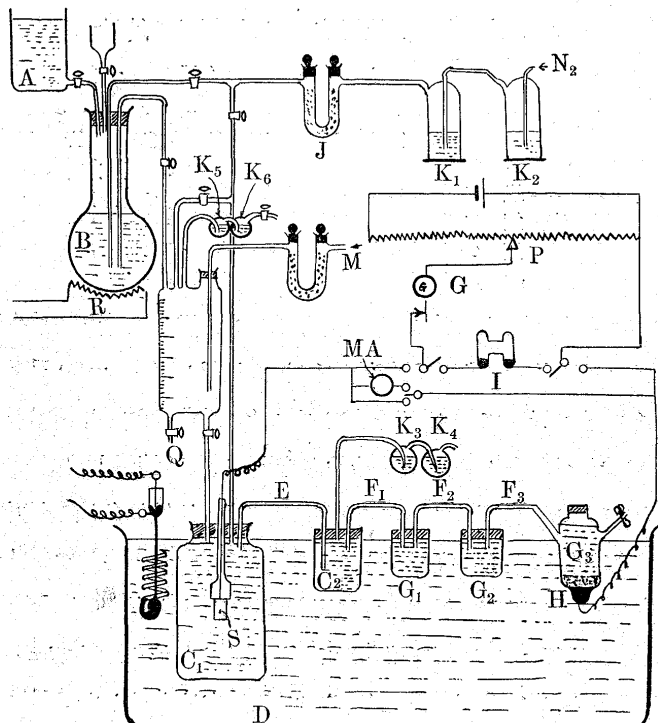
¹²⁾ B. Strauss: Stahl u. Eisen, 1925.

¹³⁾ H. Cassel: Metall Wirtschaft 10, 1931, 936.

¹⁴⁾ C. Carius: Z. Metallkunde 22, 1930, 237.

定する事は、周到なる注意を要す事が明かになつてゐる。

第1圖 電位差測定装置



- | | |
|-------------------------|---------------|
| A 蒸溜水 | J 鹽化石灰及び曹達石灰 |
| B 煮沸瓶 | K 青性ソーダ及びピロガル |
| C _{1,2} 供試水 | S 試料 |
| D 恒温槽 | M 酸素ガス |
| E 供試水橋 | P ボテンショメーター |
| F _{1,2} 寒天橋 | Q 供試水採取 |
| G _{1,2} N規定KCl | R 加熱装置 |
| H 甘汞電極 | N 窒素ガス |
| I 標準電池 | |

著者は第1圖に示す様な裝置により、又は此の一部を利用し、種々の條件で各種材料の示す電位差と酸素の關係を観察した。酸素の量は Winkler の方法で定量し、水に溶存せし酸素量に就ては特別な注意を拂つた事は申す迄もない。

但し此の裝置は次に示す方法の電池で測定し、Eは



$\dot{N} \cdot H^+ / H_2$ (1A.p.) 尺度 E_1 に対する為 (3) 式を使ふべきであるが、便宜上 (4) 式を用ひ、單に溫度補正のみを行つた數字を列記する事にした。

$$E_1 = E - \{0.2822 + 0.00065(t-18)\} \dots (3)$$

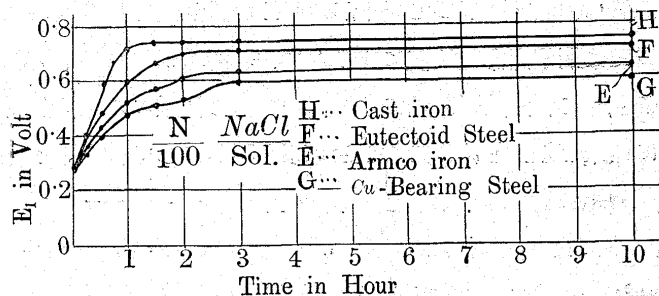
$$E_1 = E - 0.00065(t-18) \dots \dots \dots (4)$$

此處に今一つ特記して置く事は、測定は全部 Ph 値 6.5~7.1 間の水溶液で行ひ、又電流密度は 0.05 microamp./cm²

以下にして H_2 の發生及び電解質の變化に留意した事であつて、爲に Lochte 氏¹⁸⁾ 等の考へた、心配はないと云ふ事である。

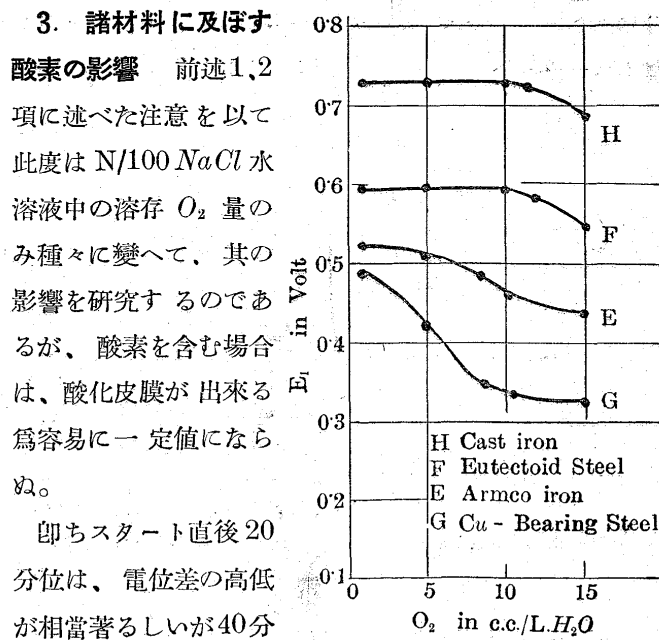
2. 諸材料の電位差時間曲線 鐵の電位差の絶體値を出したもの、又は酸素を除却する事に特別な裝置を使用した實驗¹⁹⁾²⁰⁾は相當あるが、自分の研究は供試各材料を比較する爲、第1圖(B)に蒸溜水を入れ煮沸し、次で N_2 瓦斯を導入しつゝ冷却し一定溫度に至りて下方の瓶に導き、一部分の水に就き O_2 量を定量した後實驗に供したが、殘留 O_2 量は 1~1.5 c.c/l に留める事が出來た。此の蒸溜水に $NaCl$ を溶かし $N/100$ で使用する事にした。尙全裝置に亘り空氣を N_2 瓦斯で置換して置いた事は申すまでもない。代表

第2圖 諸材料の代表的電位差時間曲線



的結果は第2圖曲線に示す如くであつて、此の曲線の位置よりすれば鑄鐵は最も腐蝕し易く、反対に含銅鋼最も腐蝕し難い事となる。

第3圖 酸素と電位差曲線



3. 諸材料に及ぼす

酸素の影響 前述1,2項に述べた注意を以て此度は $N/100 NaCl$ 水溶液中の溶存 O_2 量のみ種々に變へて、其の影響を研究するのであるが、酸素を含む場合は、酸化皮膜が出来る爲容易に一定値にならぬ。

即ちスタート直後 20 分位は、電位差の高低が相當著しいが 40 分前後に至りて安定し。

¹⁹⁾ 村田廣次：工業化學會誌 vol 35. 1932. 589. 1755. 1291.

²⁰⁾ E. G. R. Ardagh: Ind. Eng. Chem. 1933. 1116.

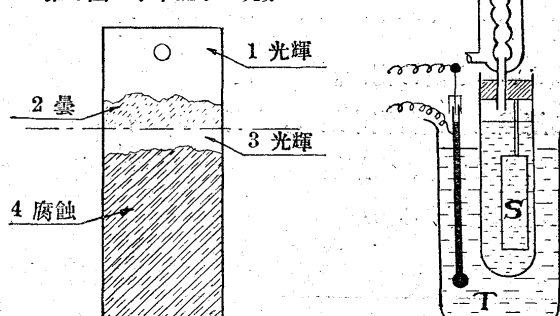
之より 10 時間目頃迄は、水中 O_2 量が漸次減少するに従ひ、電位差は漸次高位になる。然るに個々の材料に就き O_2 量を變へると、時間電位差曲線が特殊な位置を持つ曲線が出来る。假にスタート後 1 時間目の電位差を採用して酸素との關係を曲線に描くと、第 3 圖の様になり、鑄鐵は酸素 10 c.c/l 程度迄影響が少ないと含銅銅は 5 c.c/l 程度で既に相當な影響あり、酸素多くなるにつれ益々此の現象を呈する事となる。又酸素の少なき時は、共析炭素銅はアルムコ鐵より酸素の影響を受ける事少ない。

4. 水準下に於ける現象 水準下に於ける鐵面の酸素の濃淡及び電位差の研究の一部は既に夫々 Evans 氏²¹⁾ 及び McAuley 氏²²⁾ によつて發表されて居るけれども、之に關連しては受動態の問題は説明されて居らない。又鑄鐵・含銅銅等に就ては何等の實驗がせられて居らぬ。

著者は第 1 圖の裝置 F₃ の直下に種々な條件で、處理した試片を持ち來して、電位差を測定すると同時に金屬の水準下の現象を觀察した。即ち供試水を三角瓶に取り、試験片の一部を水に挿入せしめ、瓶の表面からの水の蒸發を少し、室温で 10 日間放置した後取出し吸取紙を以て試片の測面より、水分を吸はせたものを水平にして $\frac{1}{2}$ mm 大の N.KCl 水滴を中間體とし、直ちに電位差を測定したが、茶褐部及び光輝部に就き夫々 5 個の平均値を採り、第 3 表の如き結果を得た。但第 4 圖に於て何れの試片も(3)の部分はスケールが、沈澱し下地が光輝の状態又は、スケール無く、光輝のみであつて、(4)の部分が腐蝕して居る。

第 5 圖

第 4 圖 水準上下の現象



(3) の部即ち酸素の多い所が腐蝕せず、(4) の部即ち酸素の少い所が腐蝕せる事は、前述 Evans²¹⁾ 及び McAuley²²⁾ 氏の研究と一致してゐるが、自然水では此の部分にスケールが存在してゐる事、及びスケールの性状が多少水質に依り異なる事、更に(4) と(3) との電位差の差が含銅銅が最も大にして鑄鐵が最小である事は見逃せぬ重要な點である。

5. 材料自體の不均一性 何等かの理由に依り、材料が不均一であるならば、之が水に接觸した場合、各部の電溶壓が異なる爲に、所謂流電作用を起し部分的腐蝕をやる事は當然あり得る事²³⁾であるけれども、特殊な場合即ち此等の異常な存在のある場合は別として、供試材料程度の様な場合に、材料自體の不均一性が點蝕に如何程影響するか、又 Evans 氏²⁴⁾ が提唱した酸素の濃淡差の影響がより大きいかを比較する爲の一方法として、第 5 圖の恒温装置により常温に於ては 5 日間又 60°C に於ては 10 日間試片(S)を水に挿入した後の表面數箇所の電位差を測定した。

第 3 表

材 料	ゲー ン	水(室温)		自然水(A)		自然水(C)		自然水(B)		蒸溜水	
		E ₁	状態	E ₁	状態	E ₁	状態	E ₁	状態	E ₁	状態
G 鑄 鐵	3	0.7164	スケール薄層	0.7244	スケール薄層	0.6050	スケール緻密	0.6487	光輝		
	4	0.7331	大部分茶褐	0.7570	大部分茶褐	0.7244	大部分茶褐	0.7244	大部分茶褐		
	4-3	0.0167		0.0326		0.1194		0.0757			
E アルムコ鐵	3	0.5816	スケール薄層	0.5447	スケール薄層	0.4327	スケール緻密	測定不能	光輝帶狭小		
	4	0.6907	大部分茶褐	0.6916	大部分茶褐	0.6698	大部分茶褐	0.6663	大部分茶褐		
	4-3	0.1091		0.1467		0.2371		—			
F 共析炭素銅	3	0.7112	スケール薄層	0.6734	スケール薄層	0.4567	スケール緻密	測定不能	光輝帶狭小		
	4	0.7253	大部分茶褐	0.6734	大部分茶褐	0.6667	大部分茶褐	0.6670	大部分茶褐		
	4-3	0.0171		0.0000		0.2040		—			
H 含銅銅	3	0.4362	スケール薄層	0.5034	スケール薄層	0.3567	スケール緻密	0.3821	光輝		
	4	0.6052	大部分茶褐	0.6734	大部分茶褐	0.6443	大部分茶褐	0.6066	大部分茶褐		
	4-3	0.1690		0.1700		0.2876		0.2245			

²¹⁾ U. R. Evans: 前掲²²⁾ A. L. McAuley: Trans. Chem. Soc. 1925. 2605.²³⁾ 水道研究會: 水道研究資料 第 13 號 昭和 6 年 10 月²⁴⁾ U. R. Evans: 前記

測定方法は4項記載の如く、試片を取出して水分を取り去つた後、直ちに實験したが、此の結果供試材料程度の所謂金屬の不均一と謂ふ問題は第4表記入の如く、影響が極めて少いのを認め得た。

即ち鑄鐵又は共析炭素鋼の各部分の如く不均一組織の材料の電位差は少く、含銅鋼又はアルムコ鐵に、却つて大きい事は注意を要する。

第 4 表

材 料	水 温 度	自然水(A)		自然水(C)		自然水(B)		食鹽水 100	
		60°C	室温	60°C	室温	60°C	室温	60°C	室温
鑄 鐵	0.7066	0.5117	0.7482	0.6558	0.7092	0.6305	0.7067	0.6416	
	0.7066	0.5117	0.7482	0.6352	0.7482	0.6305	0.7067	0.6416	
	0.6827	0.5995	0.7403	0.6352	0.7482	0.5376	0.7067	0.6416	
	0.7066	0.5995	0.7482	0.6590	0.7482	0.6350	0.7067	0.6416	
	0.6827	0.5117	0.7482	0.6352	0.7100	0.5376	0.7067	0.6416	
	Max.-Min.	0.0239	0.0818	0.0079	0.0238	0.0390	0.0429	0.0000	0.0000
アルムコ鐵	0.6552	0.3958	0.7061	0.5558	0.6990	0.5955	0.6511	0.3560	
	0.6552	0.4685	0.6770	0.6034	0.5671	0.5590	0.6511	0.3100	
	0.6770	0.3954	0.7061	0.6034	0.6990	0.2582	0.6352	0.4049	
	0.6552	0.4685	0.6770	0.5558	0.6443	0.5590	0.6511	0.4049	
	0.6752	0.3398	0.6770	0.6034	0.6543	0.2382	0.6352	0.3100	
	Max.-Min.	0.0218	0.1287	0.0291	0.0476	0.1219	0.3203	0.0159	0.0949
共析炭素鋼	0.6664	0.4303	0.7403	0.6352	0.6129	0.4605	0.6670	0.4315	
	0.6788	0.5002	0.7403	0.6987	0.6129	0.4601	0.6590	0.5209	
	0.6888	0.4303	0.7482	0.6352	0.7323	0.5098	0.6590	0.4315	
	0.6550	0.5002	0.6981	0.6987	0.7323	0.5098	0.6590	0.5209	
	0.6629	0.4303	0.6981	0.6352	0.6607	0.4601	0.6670	0.4315	
	Max.-Min.	0.0338	0.0699	0.0501	0.0635	0.1194	0.0794	0.0080	0.0954
含銅鋼	0.6118	0.3303	0.6770	0.3176	0.6993	0.4940	0.4266	0.3414	
	0.6543	0.3303	0.6407	0.6479	0.5671	0.3590	0.4266	0.3414	
	0.6543	0.5161	0.6770	0.3176	0.7070	0.5012	0.5955	0.2620	
	0.6235	0.5161	0.6407	0.6392	0.6843	0.5009	0.5955	0.2620	
	0.6543	0.3303	0.6770	0.3176	0.6543	0.3580	0.5955	0.3414	
	Max.-Min.	0.0425	0.1858	0.0963	0.3295	0.1399	0.1429	0.1689	0.0794

此處に水質から来る沈析物の影響は當然あるけれども、此の様な状態でも如上の結果は試料と酸素の関係から發生した結果であると考へる事を餘儀なくせられる。

IV. 點蝕と受動態の研究

1) 實驗理由及び方法 IIIの諸實驗に於て、材料表面の電位差が高低を示す原因は、酸素による影響が其主要なるものである事及び酸素の少い部分が却つて腐蝕する事を確めた。然し今迄の實驗方法は酸素の分布又は供給が一定でない、従つて受動態乃至點蝕の關係の研究には充分でない。

最近 Roetheli 氏²⁵⁾は水中で試験片を回転し、酸素と腐蝕の關係を研究して居るけれども Heyn 及び Bauer²⁶⁾又は Friend 氏²⁷⁾と同様な實驗及び考察の範圍を出て居らぬ

²⁵⁾ B. E. Roetheli: Ind. Eng. Chem. 1931. 1010.

²⁶⁾ Heyn, & Bauer: Mitt. Kgl. Mat. Prüf. 28. 1910. 62.

²⁷⁾ J. N. Friend: J. Chem. Soc. 1921. 932.

又 Groesbeck 氏²⁸⁾等によると鐵の腐蝕は酸素量に比例して多くなるが或る酸素量以上では逆に蝕損量が減じると報告してゐる。

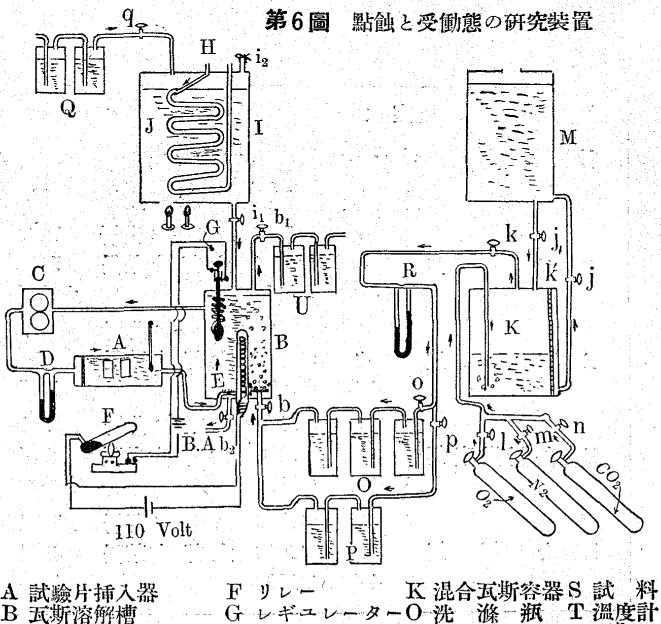
著者は第6圖に示す装置により、水中の酸素量を 2-20 cc/l H₂O 範圍内で、點蝕及び試片の表面の變化等を時間的に観察して今迄明になつてゐない點を研究した。

装置は圖面に詳細説明記号を附してあるが、主要構造部

分は④なる検體を挿入したる硝子瓶⑤なる恒温水槽、⑥なる無錫鋼製送水ポンプよりなる。⑧中には不絶 O₂, N₂ 又は O₂, N₂, CO₂ 瓦斯混合物を流入せしめ、過剰は洗滌瓶⑩より逸出する。

斯て炭酸を驅逐した蒸溜水は⑪⑫間を循環するのであるが、此の様にして水速 1 秒 1 cm の速さで、一定の氣體を溶存水を不絶、試料面に送ると謂ふ仕掛けになつてゐる特長を有するのである。即ち(3)に於ける實驗よりも遙かに正確に酸素の濃度に依る影響を研究する事が出来る筈である。又水は適當に處理した蒸溜水を使用し、鑄鐵、アルムコ鐵及び含銅鋼 3 種類の試片を取りて、各材料に就き種々の酸素濃度にて一つの

第6圖 點蝕と受動態の研究装置



²⁸⁾ E. C. Groesbeck: Proc. A S T M. (preprint) 1931.

試験期間を 48 時間とし、連續作業を行ひ、此の間溫度は $28 \pm 0^{\circ}\text{C}$ に保つ事が出來た。

2. 酸素と Ph 値の影響 結果に付いて見る時は、酸素の少ない場合は各試片全面に亘り、一様に腐蝕せられ酸素量 8 cc 以上になると部分的腐蝕が起つて居り、20 cc にもなると點蝕の現象が起つて居て、腐蝕せざる面は緻密な酸化皮膜で蔽はれ、紫色に變じてゐる事が明かに觀察出來たのである。

次に時間的に腐蝕の状態を觀察せしものを、アルムコ鐵に就て記載すると O_2 量 2 cc の場合は一様に侵されるから、問題はないが 8 cc の場合は實驗のスタート後 3 時間目頃より試片表面に點蝕が起り、此の蝕損面は、漸次擴大して 48 時間目には、約 70% の面積を占めるに至り、腐蝕せられぬ部分は金屬光澤を保有してゐる。然るに O_2 16 cc の場合は點蝕が 8 cc の時よりも遅れて起り、最終時に於ける腐蝕面積は 8 cc の場合より少い。更に 20 cc O_2 の場合は點蝕が遅れて 7 時間目頃に初めて見られる。此の數も少く、腐蝕せられない部分は淡紫色になる。

其の結果は第 5 表の如くであるが、表中第 3 行の腐蝕量

は試片全面に亘り腐蝕せられたものと假定して計算したものであつて、含銅鋼を除くものは Sine 曲線を畫くのであるが、事實腐蝕せられた面を概算して之を基礎として算出する時は、真正の面積當りの蝕損量が出る。之等の關係を第 7 圖及び第 8 圖で表はすと實に面白い結果が得られる。

外見上鑄鐵は蝕損多く、含銅鋼が少ないが、正確な意味から言ふと第 8 圖の様に正反對の結果となる事が判る。即ち此の場合、酸化皮膜で蔽はれた面、言ひ換へれば、腐蝕に對して受傷狀態になつてゐる面積を計算せねばならぬ事が判る。

最後に炭酸を含む水の影響であるが、此の實驗は前と同様な裝置に依り CO_2 , O_2 , N_2 互斯混合物を使用した。即ち酸素量を 8~10 cc に保ち Ph 値で 5.6~6.0, 5.0~5.2 及び 4.1~4.5 の状態で全腐蝕及點蝕の關係を研究した結果、各材料を通じ、一般腐蝕量は Ph 5~7 では變化がなく Ph 4.5 に至り增加する結果を得た。即結局 Whitman 氏²⁹⁾の結果と同様であつた。

但し、特記して置く事は Ph 5~6 の間で含銅鋼には酸化皮膜の面を残してゐたが、鑄鐵及びアルムコ鐵に至りては前回と異なり金屬光澤面及び酸化皮膜面が殆んどなかつたと言ふ事である。

V. 諸實驗結果の考察

以上可成り廣範圍に亘つた實驗結果を纏めて多少推論を加へ考察を試みる事とした。

1) 酸素と電位差及び保護皮膜關係

實驗 III の③に於ける結果

は酸素の濃度高き程初期の電位差は低位になる。

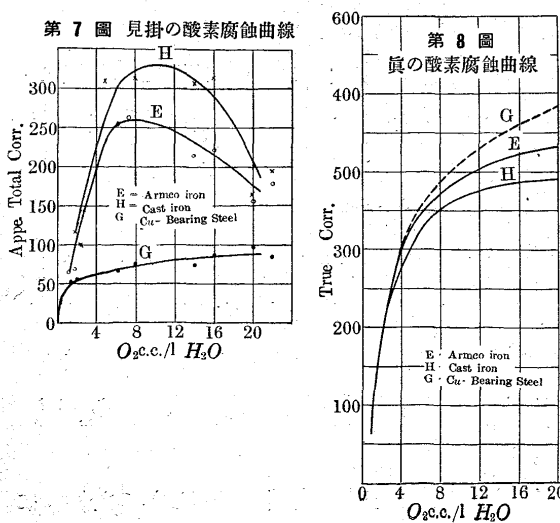
之と同じ現象を④の實驗水準下に於ける現象で見受けられる。

然るに IV の實驗結果を表した第 7 圖によると、含銅鋼、アルムコ鐵及び鑄鐵は夫々酸素濃度 3 cc, 7 cc, 10 cc 程度で曲線上大きな偏差を起してゐる、之以上では特種な酸化皮膜で蔽はれてゐて其の面積も算出出来るのである。

此の 3 つの現象を比較考究する時は、酸素の濃度大なる程材料表面の電位差が低位になる事即ノーブルになると云ふ事は、特種な皮膜の生成によるものなるべく、鐵の溶出

²⁹⁾ N. G. Whitman: Ind. Eng. Chem. 16, 1934.

番號	材 料	全減量 mg/dm^2			腐蝕面 概算 %	真正腐 蝕量 mg/dm^2	備 考	
		1	2	平均				
I	E アルムコ鐵	63.3	68.6	65.9	1.5~2.0	7.0	85~95	73.2 略一樣腐蝕
	G 含銅鋼	50.5	56.5	53.5	1.5~2.0	7.0	85~90	60.0 同 上
	H 鑄鐵	113.3	110.2	111.7	1.8~2.2	7.0	100	111.7 同 上
II	E アルムコ鐵	252.8	262.0	257.9	6.5~7.5	7.0	65~75	367.7 部分腐蝕
	G 含銅鋼	65.1	75.4	70.2	6.5~8.0	7.0	15~25	351.0 點 腐蝕
	H 鑄鐵	310.0	312.4	311.2	5.0~8.0	7.1	85~95	345.7 —
III	E アルムコ鐵	211.5	222.3	216.9	14~16	7.0	45~55	433.8 點 腐蝕
	G 含銅鋼	73.7	85.0	79.3	14~16	7.1	15~20	440.5 點 腐蝕
	H 鑄鐵	308.2	315.1	311.6	14~16	7.1	75~85	389.5 —
IV	E アルムコ鐵	153.9	179.2	166.5	20~22	7.0	35~45	416.7 何れも點蝕又は部分腐蝕、腐蝕
	G 含銅鋼	97.3	85.4	91.3	20~22	7.1	15~20	500.7 部分腐蝕、腐蝕
	H 鑄鐵	160.7	195.2	177.9	20~22	7.1	45~55	355.8 せぬ部分紫色



に對して保護皮膜を作つてゐて、所謂受働狀態になつてゐると推定せられる。

然し其の受働態の程度は酸素が試片の表面を包む量、時間、及び材料の特性に關係する事勿論であつて、此點を考へた著者の實驗結果よりすれば受働態は酸素の直接酸化によるものと見られる。

2) 點蝕は不均一受働態の結果

上述 III 及び IV の諸實驗に於て、部分腐蝕乃至點蝕は何れも酸化皮膜面の存在せし場合に起つて居た。

此結果より點蝕は酸化保護皮膜の不均一換言せば受働態の不均一結果と云ふ事になる。

唯何故如斯き結果となるかと云ふに IV の實驗結果より見る時は一度出來た皮膜が H_2 の爲に複極せし點が考へられる。又 III の實驗結果よりする時は酸素の不均一分布によるものと考へられる、従つて材料により酸素の濃さに感受性の多い含銅鋼が此現象著しく。鑄鐵は相反すると云ふ事になる。

何れにしても不均一受働態は流電作用を伴ひ陽極の腐蝕は助長される。自然水中で陰極面即受働態の面にスケールの沈析せしは此の流電作用を證明するに足ると思ふ。

3) 受働態と一般腐蝕 受働狀態の面積を測定し之を考慮に入れるに、此の場合流電作用の影響はあるけれど、とにかく酸素量に比例して、鐵の腐蝕量は多くなると云ふ事は、第 8 圖に示す如くであつて前記 Groesbeck 氏³⁰⁾ 又は Heyn 及び Bauer 氏³¹⁾の實驗、更に Friend 氏³²⁾のコロイド説を稱へた原因が皆見解の相異であると思ふ。

VI. 總括

以上述べ來つた事柄を一括して簡明に記載する。

1) 此の研究は満洲の特種地方に於ける水管又は汽罐の煙管等が、部分的腐蝕乃至點蝕現象の甚しい原因を探究する目的で行つたものであるが、同時に種々な材料を使用し其特性を見出す事に努めた。但し 10 日間迄に於ける諸現象の測定又は觀察の結果であるから、之が直ちに水道用材料の選擇になるとは思はない。

2) 金屬材料としてはアルムコ鐵、鑄鐵、共析炭素鋼及び含銅鋼を適當に熱處理して研磨面に就て、又水は自然水

³⁰⁾ E. C. Groesbeck: 前掲

³¹⁾ Heyn. & Bauer: 同

³²⁾ J. N. Friend: 同

三種の外に蒸溜水及び食鹽水を使用した。

3) 研究の一方法として種々な條件で材料表面各部分の電位差の測定を行ひ又同時に觀察を試みた。

4) 電位差の測定に就ては、水の Ph 値、含有鹽及測定時に於ける、電流密度に特別な注意を拂つた。

5) 水中に酸素の溶存しない場合の電位差測定の結果は順次溶け易いものより、鑄鐵、共析炭素鋼、アルムコ鐵及び含銅鋼となつて從來研究された順序と變る所はなかつた。

6) 然るに、水の Ph 値を 6.5~7.1 にし、食鹽 N/100 溶液中に於ける電位差測定時の電流密度 0.05 Micro Amp./cm² 以下の條件に制限して、酸素の濃度が諸材料の電位差に及ぼす影響を研究した結果は、特種な現象を明にする事が出來た。

7) 即ち等多數の時間電位差曲線に於て、或る時間の断面を探つて、材料別に酸素、電位差曲線を作ると、酸素 2~15 cc/l·H₂O の間では、含銅鋼の電位差、酸素関係は略々直線的に大きな變化があるに反し、アルムコ鐵は同じく直線で示せるけれども變化が小さい。

又共析炭素鋼及び鑄鐵は 2~10 cc 範圍内では殆ど酸素濃度の影響なく 15 cc に至つて急に變化を示す。

8) 含銅鋼、鑄鐵及びアルムコ鐵に就て、水準直下部とより下方部の電位差を測定した結果は、何れの材料も直下部の方がノーブルである事、特に含銅鋼が此の現象の著しい事及各材料共、自然水の場合には此のノーブルな部分にスケールの沈析してゐる事實を確めた。

9) 材料自體の不均一性による表面各部の電位の差違は特種な例外はあるとしても供試材料の範圍では極めて小い事を知つた。

10) 自然水では其の水質が之に挿入した試片表面各部の電位差を異にする一原因となる事を確めた。

11) 研究の他の方法として、一定時間に亘り恒に一定の氣體を溶存する水を供給する裝置により Ph 値及酸素の濃さを種々に變へた水が、保護皮膜面の生成乃至點蝕現象に及ぼす影響を研究した。

12) 一般腐蝕及び酸素濃度の關係は、何れの材料もある酸素濃度迄は腐蝕は直線的に増加するけれども、遂に偏差を起す點に到達して、此點以上に於ては試片が特種な酸化皮膜で奄はれてゐる事を認め又其の保護皮膜のある面積を測定した。

13) 結果より見ると酸化皮膜面が著しかつた材料に限り

點蝕現象を伴つてゐる事及時間的に見ると酸素の濃度高きもの程點蝕のスタートが遅れる事を知つた。

14) アルムコ鐵に於て酸素 8cc 前後の場合 Ph 6~7 では點蝕を起したが、炭酸の存在で 5~6 Ph 値に於ては酸化皮膜の面も出來ず從つて點蝕も認め得なかつた。

15) 保護皮膜のある面を算出して酸素と鐵の蝕損關係を圖表にすると、直線ではないが、蝕損は酸素の濃度に比例して多くなる事が分明した。

16) 以上諸實驗による測定又は觀察の結果より考察を試み、次の推定を下し得た。

即鐵及鋼が水中に於ける初期の受働狀態は、酸素の直接酸化による皮膜の生成であらうと云ふ事、點蝕は材料表面に於ける不均一な受働態の結果であると云ふ事。

不均一受働態の生成原因の主なるものは 2 つ考へられ、

其の 1 つは一度出來た受働態面の一部が水素により還元復極せられると云ふ事、其の 2 は酸素の不均一分布により部分的受働態を起すと云ふ事。

何れにせよ不均一受働態は流電作用を起し陽極面の蝕損を助長させるが、自然水中に於ては陰極面及受働態面にスケールを沈析する、之は流電作用の一證明になると云ふ事。

點蝕現象を供試材料に就て見る時は含銅鋼、アルムコ鐵共析炭素鋼及鑄鐵の順序になつて含銅鋼が最も甚しいが、之等の順序の出來た原因は酸素の直接酸化に關係してゐると云ふ事。

此の研究に當つて實驗の援助をせられた千葉喜美、蘆田春行及山田謙二郎君の勞を多とし此處に感謝の意を表す。
(昭和 8 年 1 月 31 日、満鐵、中試、沙研、化學冶金室)

電弧鎔接法による鎔着金屬の電磁氣的性質に就て

(日本鐵鋼會第 11 回講演大會講演)

岡 田 實*

ON THE ELECTROMAGNETIC PROPERTY OF THE DEPOSITED METAL IN ARC WELDING.

Minoru Okada.

SYNOPSIS:—In this experiment author used various type of commercial electrodes and special made electrodes which were added Silicon, Aluminum, Phosphorus and Manganese in the coating material. The deposited metal from these electrodes were tested to find the electromagnetic property, mechanical property and change of these properties before and after aging and annealing. The results of this investigation are as follow:

1. The electric resistivity of the deposited metal from the low carbon bare electrode was comparatively small. Therefore it is suitable to weld the electric circuit. But the mechanical quality of the weld metal deposited from the bare electrode was inferior to that deposited from the covered electrode.

2. In the case of the magnetic circuit welding the deposited metal must have high permeability, low hysteresis loss and high electric resistivity. For these purpose it was applicable to use the electrodes that were coated with the proper quantity of silicon and manganese. However manganese itself is not directly to afford the good effects to the magnetic property of the deposited metal but it reduces the contamination of air to the deposited metal.

3. The deposited metal from the phosphorus coated electrode was a little better than that from the bare electrode. It was, however, so brittle that was readily cracked by light hammering. The iron aluminum alloys were similarly to the iron phosphorus alloys except under the critical quantity of aluminum.

4. The deposited metal in arc welding possessed in general the conspicuous aging property. However it was so much improved that hysteresis loss increased with time as little as negligible if the electrode had coated with silicon and manganese.

5. The magnetic characteristics of the deposited metal were much affected by the cooling rate of the metal, especially, below 500°C.

6. The deposited metal from the manganese coated electrode developed the high tensile strength and that from the silicon coated electrode developed the high impact resistance. The deposited metal from the covered electrode with silicon and manganese had the superior mechanical properties.

7. Author indicated the microstructure of deposited metals from the various type of the coated electrode. In the presence of silicon, the grainsize was large. But if the manganese had been added to the electrode, grain-size of the deposited metal was fine. Up to the quantity of phosphorus reached 0.5% in deposited metal, author found the characteristic sharp needle structure in it.

8. The welded metal of the low carbon steel by the atomic hydrogen welding process possessed the good electromagnetic and mechanical properties. But it had a considerable aging effect in magnetic characteristics.

9. The silicon coated electrode was practically impossible to be deposited by the electric arc process on account of the large globule of the electrode dropped down. However the silicon and manganese coated electrode was possible to obtain the deposited metal with some difficulties.

* 大阪帝國大學工學部